

# Trimethylsilylation에 의한 시멘트水和反應研究

崔相紇

〈漢陽大學校 教授〉

## 1. 서 론

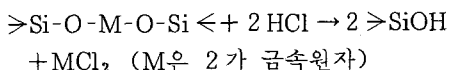
규산염 구조의 화학적 연구수단으로서 trimethylsilylation(TMS)법이 Lentz에 의하여 제안된 이래 여러 분야에서 활용되고 있으며 시멘트 수화과정연구에도 응용되고 있다. 이를 연구는 대개 장기 재령의 수화물이 많으며, 한편 수화시의 물/시멘트비, 수화온도 및 첨가물의 영향 등도 검토되었다.<sup>1~9)</sup>

TMS 법은 주로 규산염 광물 중의 소형 규산이온의 구조연구, 특히 X 선 회절분석 등으로는 힘든 저결정성 규산염 중의 규산이온 분석에 유용하다. 규산염의 산분해에 의하여 생성하는 규산의 silanol기에 trimethylsilyl 기를 반응시켜 얻어지는 TMS 유도체를 gas chromatography로 분석하여 그 구조를 검토한다.

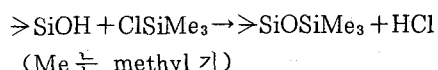
여기에서는 TMS 법에 의한 시멘트 수화연구의 선행연구사례와 C<sub>3</sub>S 초기수화과정에 대한 연구<sup>10)</sup> 결과를 소개하고자 한다.

## 2. TMS 법

규산염은 규산골격이 금속원자에 의하여 고도로 가교를 이룬 무기고분자인데, 이 금속가교는 산에 약하므로 산에 의하여 금속이 용출되어 규산염 골격은 분리되어 상당 규산염이 나타난다.



이때 생성한 규산염은 활성이 커서 쉽게 축합반응을 일으켜 고분자화하게 되는데, 여기에 반응활성이 큰 규산염의 수소원자를 trimethylsilyl 기를 반응시켜 규산염구조를 안정화시킨다.



TMS 법에는 Lentz, Götz 와 Masson 및 Tamas, Sarkar 및 Roy 등의 방법이 있는데, Tamas 등의 방법이 신뢰성이 큰 것으로 알려져 있다.<sup>2)</sup>

### 1) Lentz :

Hexamethyldisiloxane(HMD)	10 ml
Propan-2-ol	15 ml
Hydrochloric acid	7.5 ml
De-ionised water	6.3 ml

### 2) Götz and Masson :

HMD	9 ml
Trimethylchlorosilane(TMCS)	2 ml
Propan-2-ol	0.8 ml
De-ionised water	0.2 ml

### 3) Tamas, Sarkar and Roy :

HMD	5 ml
TMCS	5 ml
Dimethylformamide(DMF)	10 ml

TMS 법의 한 예<sup>10)</sup>를 들면 다음과 같다. DMF 20 ml, HMD 10 ml 및 TMCS 10 ml를 실온에서 혼합하여 15 분간 교반한 후 여기에 수화시료 0.4 g을 가하여 1 시간 교반하고 혼합물을

150 ml의 증류수가 들어있는 분액 깔때기에 유효  
계 충분히 흔들어준 다음 10분간 방치한 후 상  
층액을 취하여 무수  $\text{CaCl}_2$  이 들어있는 데시케이  
터에서 건조하고 Amberlyst - 15 2g을 가하여  
24시간 방치한 다음 이온교환수지를 여과분리  
하고 gas chromatography로 분석한다.

### 3. 연구사례

Sarker 등<sup>3)</sup>은 20년된 시멘트페이스트의 TMS  
유도체에 대하여 GC 및 GPC로 검토하여  $\text{SiO}_4^{4-}$ ,  
 $\text{Si}_2\text{O}_7^{6-}$  및  $\text{Si}_3\text{O}_{10}^{8-}$ 의 존재를 확인하였다(Fig. 1).

Uchikawa 등<sup>4)</sup>도  $\text{C}_3\text{S}$  페이스트에 대하여 검토  
하고 polysilicate는 재령과 함께 서서히 증가함  
을 알았으며, 수화물 중 전체 규소량의 50%를  
차지하는 dimer는 재령 3일에 최고에 이른다고  
하였다. Fig. 2는 재령 6개월된  $\text{C}_3\text{S}$  페이스트의  
TMS 유도체의 chromatograph이다.

Mohan 등<sup>6)</sup>은 재령 30년까지의  $\text{C}_3\text{S}$ 와 alite  
페이스트의 TMS 유도체에 대하여 검토한 결과  
재령 6개월까지는 규산염의 종합이 주로 CSH  
의 생성시 일어나며 이미 생성된 CSH의 변화에

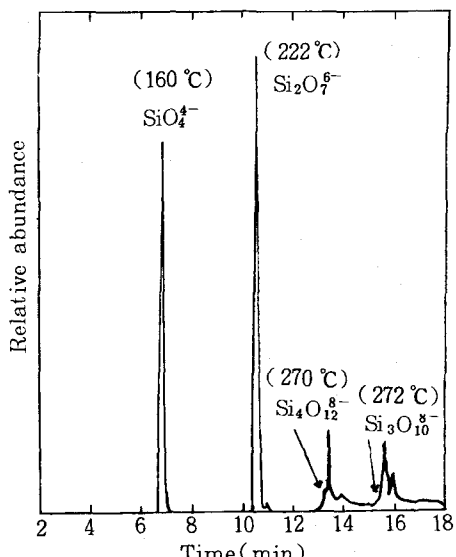


Fig. 1. Gas chromatogram of the silylated reaction  
product from 20-years-old cement paste<sup>3)</sup>

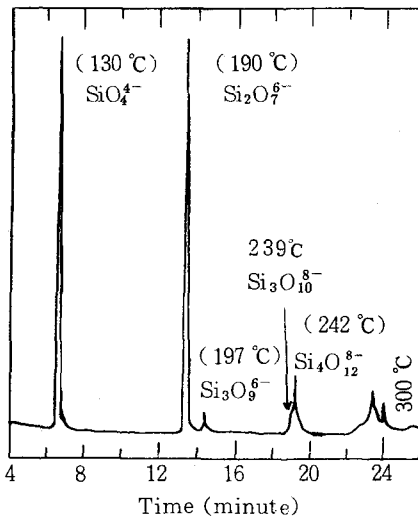


Fig. 2. Typical gas-liquid chromatogram of volatile com-  
ponent from 180-days-old  $\text{C}_3\text{S}$  paste<sup>4)</sup>

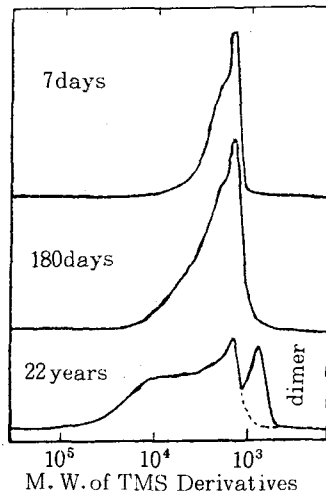


Fig. 3. Typical GPC curves for the polymer TMS  
derivatives obtained from  $\text{C}_3\text{S}$  paste<sup>6)</sup>

의한 것은 아니며 후자의 과정은 아주 느리고  
거의 모든  $\text{C}_3\text{S}$ 가 반응한 후에나 중요하다고 하  
였다. Fig. 3은  $\text{C}_3\text{S}$  페이스트의 TMS 유도체의  
GPC의 결과를 보인다.

이외에도 물/시멘트비의 영향에 대하여 Par-  
rott 등<sup>5)</sup>과 Currell 등<sup>8)</sup>이, 첨가물의 영향에 대

하여 Hirljac 등<sup>7)</sup>이 검토하였다. 또 漢賀 등<sup>8)</sup>은  $\beta$ -C<sub>2</sub>S의 수열반응 생성물에 대하여 검토하였다.

#### 4. C<sub>3</sub>S의 초기수화과정에 대한 검토<sup>10)</sup>

C<sub>3</sub>S(Blaine 4500 cm<sup>2</sup>/g)를 water/solid비 0.5의 페이스트로 만들어 20°C 습기함에서 각각 1시간, 3시간, 6시간, 1일, 3일, 7일 양생시킨 후 수화를 정지시킨 수화물의 TMS 유도체에 대한 gas chromatogram는 Fig. 4와 같으며 또한 monomer를 기준으로 비교한 결과를 Fig. 5에 나타내었다.

수화반응 초기 dimer가 서서히 생성되기 시작하여 6시간에는 9.5%이던 것이 3일에는 96.8%로 monomer와 dimer가 거의 같은 양에 이

르렀으며 7일에는 dimer가 monomer보다 많이 존재하였다.

그러나 trimer는 3시간 수화까지는 나타나지 않았으며 6시간 수화에서 2.9%, 3일에 12.5%, 7일에 15.9%로 dimer에 비하여 생성이 늦고 생성량도 적었다.

또, XRD로 측정한 수화율과 polymerization 진행율을 대비하여 보면(Table 1), 전·난적으로 수화율과 dimer와 trimer의 생성은 거의 같은 경향이며 수화된 규산염은 대부분 dimer임을 보이는데, 이로보아 C<sub>3</sub>S가 수화하면 곧 dimer로 되고 이어서 서서히 trimer가 생성되는 것으로 생각된다.

한편 CO<sub>2</sub> 분위기에서 수화한 경우에는 dimer는 수화 3일에서 약간 생겼으나 trimer은 7일

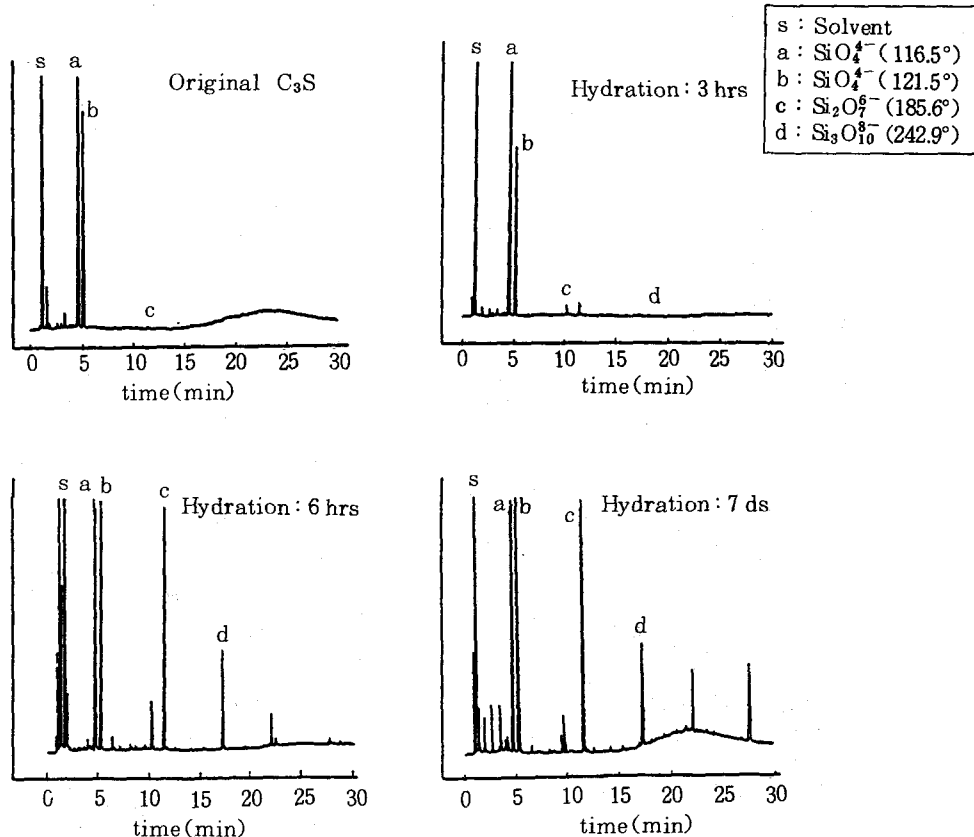
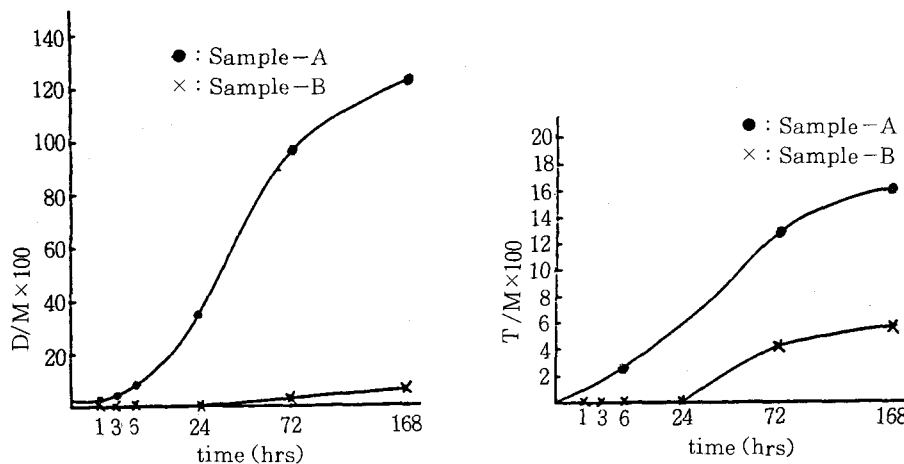


Fig. 4. Gaschromatogram of the silylated reaction product from hydrated C<sub>3</sub>S<sup>10)</sup>

Fig. 5. Formation rates of dimer and trimer according to hydration time.<sup>10)</sup>Table 1. Relation between the formation rate of polymer and hydration rate of C<sub>3</sub>S according to the hydration time<sup>10)</sup>

(%))

Formation ratio of polymer	Hydration time	3hrs	6hrs	1d	3ds	7ds
Hydration ratio		3.2	10.4	32.3	55.0	62.7
Formation ratio of dimer		3.1	9.0	28.7	49.2	55.1
Formation ratio of trimer		-	1.5	3.5	6.0	6.7

$$\text{Formation ratio of dimer} : \frac{D}{M+D+T} \times 100$$

$$\text{Formation ratio of trimer} : \frac{T}{M+D+T} \times 100$$

까지 생성되지 않았다.

#### 〈参考文献〉

- C. W. Lentz, Mag. Concr. Res., 13, 213 (1966).
- E. E. Lachowski, Cem. Concr. Res., 9, 111 (1979).
- A. K. Sarkar and D. M. Roy, Cem. Concr. Res., 9, 343 (1979).
- H. Uchikawa and R. Furuta, Rep. Central Res. Lab. Onoda, 001, 32 (No. 1) (105), 1 (1981).
- L. J. Parrott and J. F. Young, Cem. Concr. Res., 11, 11 (1981).
- K. Mohan and H. F. W. Taylor, Cem. Concr. Res., 12, 25 (1982).
- J. Hirljac, Z. Q. Wu and J. F. Young, Cem. Concr. Res., 13, 877 (1983).
- B. R. Currell, H. G. Midgley, M. Montecinos and J. R. Parsonage, Cem. Concr. Res., 15, 889 (1985).
- 淺賀喜与志, 佐々木學, 大門正機, 崔相紹, 日本石膏石炭學會 學術講演會發表(1986).
- 오희갑, 최상훈, 오업학회지, 24(2), 133(1987)